

---

# INF2310 – Digital bildebehandling

## **FORELESNING 7**

### **FILTRERING I BILDEDOMENET – II**

Andreas Kleppe

Høypassfiltrering: Bildeforbedring og kantdeteksjon  
Gradient-operatorer  
Laplace-operatoren og LoG-operatoren  
Cannys kantdetektor

G&W: 3.6 og 10.2-10.2.6

# Høypassfiltre

---

- Slipper gjennom høye frekvenser, og demper eller fjerner lave frekvenser.
  - Typisk fjernes den aller laveste frekvensen helt, d.v.s. at homogene områder får ut-verdi 0.
- Effekt:
  - Demper langsomme variasjoner, f.eks. bakgrunn.
  - Fremhever skarpe kanter, linjer og detaljer.
- Typiske mål: «Forbedre» skarpheten, detektere kanter.
- Q: Hva skjer med støy?

# Høypassfiltrering med konvolusjon

---

- Summen av vektene i konvolusjonsfilteret er typisk 0.
  - Q: Hvorfor er dette lurt når vi skal høypassfiltrere?
- Da blir også summen av ut-bildets pikselverdier bli 0.
  - Antar nullutvidelse og bruker alle posisjoner med overlapp.
- => Positive og negative pikselverdier til ut-bildet.
- Ikke alltid en god ide å bruke  $|g(x,y)|$ .
- For framvisning: Gjør  $g(x,y)$  positiv ved å addere med en konstant og skaler resultatet til ønsket intervall.

# Høypassfiltrering med konvolusjon (kursorisk)

- Når summen av vektene i konvolusjonsfilteret er 0, så blir også summen av ut-bildets pikselverdier 0.
  - Antar nullutvidelse og bruker alle posisjoner med overlapp.

$$\begin{aligned}\sum_{x=-a}^{M-1+a} \sum_{y=-b}^{N-1+b} (h * f)(x, y) &= \sum_{s=-a}^a \sum_{t=-b}^b \sum_{x=-a}^{M-1+a} \sum_{y=-b}^{N-1+b} h(s, t) f(x - s, y - t) \\ &\stackrel{\text{antar nullutvidelse}}{=} \sum_{s=-a}^a \sum_{t=-b}^b \sum_{x=s}^{M-1+s} \sum_{y=t}^{N-1+t} h(s, t) f(x - s, y - t) \\ &= \sum_{s=-a}^a \sum_{t=-b}^b \sum_{m=0}^{M-1} \sum_{n=0}^{N-1} h(s, t) f(m, n) \\ &= \sum_{m=0}^{M-1} \sum_{n=0}^{N-1} \left( f(m, n) \sum_{s=-a}^a \sum_{t=-b}^b h(s, t) \right) = 0\end{aligned}$$

# Punkt-deteksjon

- Eksempel på et høypassfilter; Konvolusjonsfilteret:

$$\begin{bmatrix} -1 & -1 & -1 \\ -1 & 8 & -1 \\ -1 & -1 & -1 \end{bmatrix}$$

- Dette filteret kan bl.a. brukes til deteksjon av isolerte punkter:

- Beregn konvolusjonen av filteret, betegnet  $h$ , og inn-bildet  $f$ :

$$g(x, y) = \sum_{s=x-1}^{x+1} \sum_{t=y-1}^{y+1} h(x-s, y-t) f(s, t)$$

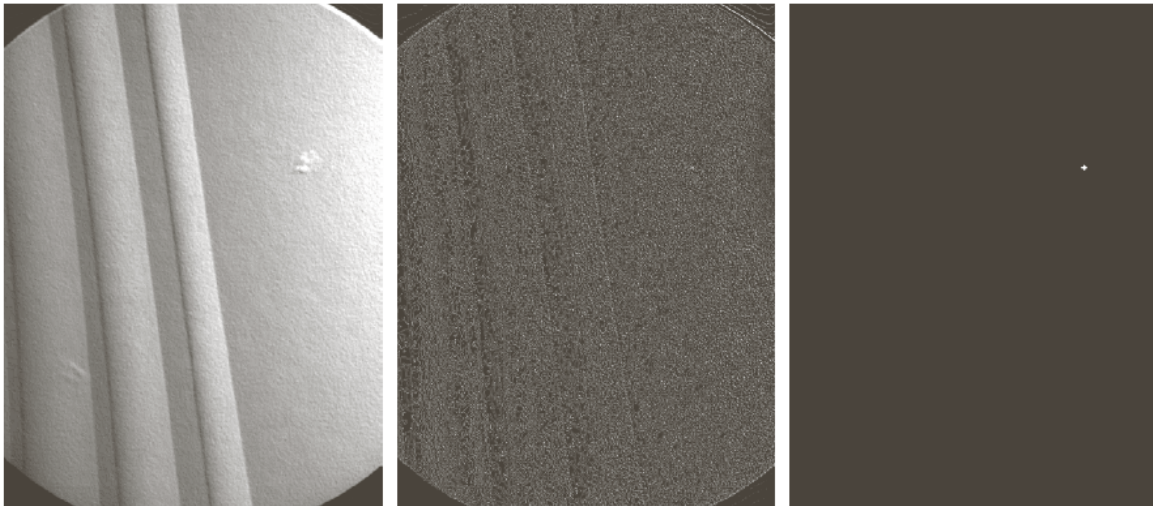
- Isolerte punkter vil skille seg ut med høy respons (i absoluttverdi).
- For passende terskel  $T > 0$  er de detektert punktene:  $|g(x, y)| \geq T$

- Hva er responsen i homogene områder?
- Hva med en hellende gråtone-flate?

# Eksempel: Punkt-deteksjon

- **Oppgave:** Deteksjon av pore i turbinblad.

1	1	1
1	-8	1
1	1	1



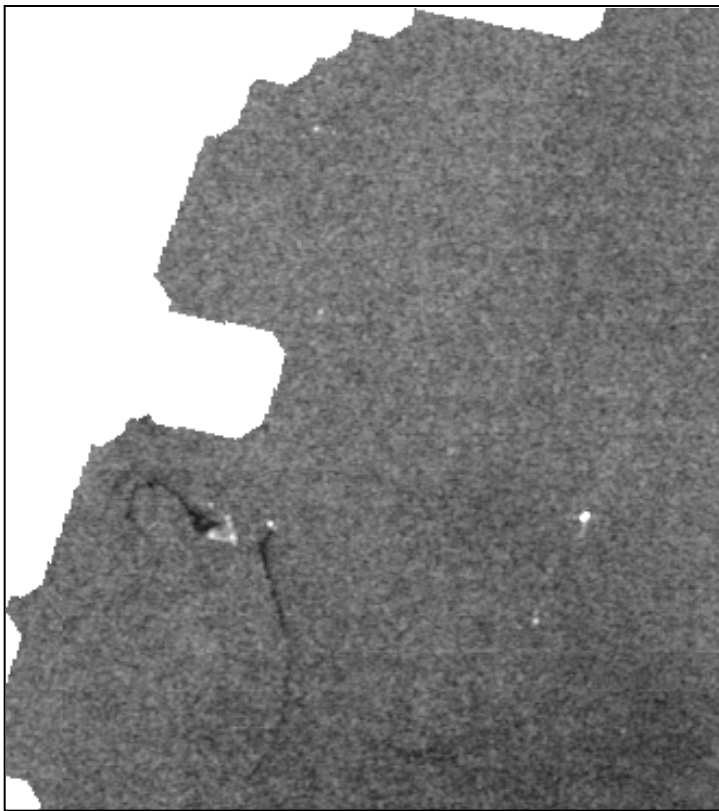
a  
b c d

**FIGURE 10.4**

(a) Point detection (Laplacian) mask. (b) X-ray image of turbine blade with a porosity. The porosity contains a single black pixel. (c) Result of convolving the mask with the image. (d) Result of using Eq. (10.2-8) showing a single point (the point was enlarged to make it easier to see). (Original image courtesy of X-TEK Systems, Ltd.)

# Eksempel: Punkt-deteksjon

- **Oppgave:** Deteksjon av skip i radar-bilde over sjø.



- De små lyse punktene er skipene.

- Filteret  $\longrightarrow$   $\begin{bmatrix} -1 & -1 & -1 \\ -1 & 8 & -1 \\ -1 & -1 & -1 \end{bmatrix}$   
vil gi flere høye responser for hvert skip.

- Og nesten like høy respons i kanter og spesielt hjørner.

- Bedre å bruke et større filter av samme «type»:

$$\begin{bmatrix} -1 & -1 & -1 & -1 & -1 & -1 & -1 \\ -1 & -1 & -1 & -1 & -1 & -1 & -1 \\ -1 & -1 & 4 & 4 & 4 & -1 & -1 \\ -1 & -1 & 4 & 8 & 4 & -1 & -1 \\ -1 & -1 & 4 & 4 & 4 & -1 & -1 \\ -1 & -1 & -1 & -1 & -1 & -1 & -1 \\ -1 & -1 & -1 & -1 & -1 & -1 & -1 \end{bmatrix}$$

# Bildeforbedring ved høypassfiltrering

---

- Konvolusjonsfilteret  $\longrightarrow$   $\begin{bmatrix} -1 & -1 & -1 \\ -1 & 8 & -1 \\ -1 & -1 & -1 \end{bmatrix}$  kan også brukes til bildeforbedring.
- Grunntanke:
  - Filtringen detekterer starten og slutten av kanter.
  - Andre områder blir omtrent 0.
  - Derfor: Ved å **addere filtreringen til originalen** får vi sterkere kanter  $\rightarrow$  bildet virker skarpere.



# Eksempel: Bildeforbedring ved høypassfiltrering

- **Oppgave:**  
Øk skarpheten  
i følgende bilde  
av Nordpolen:

- **Løsning:**

1. Filtrer med  $\longrightarrow$
2. Summer filtreringen  
og originalen.

$$\begin{bmatrix} -1 & -1 & -1 \\ -1 & 8 & -1 \\ -1 & -1 & -1 \end{bmatrix}$$



G&W fig. 3.38:  
← (a) Original  
(e) Resultat →



# Bildeforbedring ved høypassfiltrering

- Konvolusjonsfilteret vi har sett på kan uttrykkes slik:

$$\begin{bmatrix} -1 & -1 & -1 \\ -1 & 8 & -1 \\ -1 & -1 & -1 \end{bmatrix} = \begin{bmatrix} 0 & 0 & 0 \\ 0 & 9 & 0 \\ 0 & 0 & 0 \end{bmatrix} - \begin{bmatrix} 1 & 1 & 1 \\ 1 & 1 & 1 \\ 1 & 1 & 1 \end{bmatrix}$$

høypass = original - lavpass

Husk:  
Konvolusjon er  
distributiv:  
 $f*(g+h)$   
 $= (f*g) + (f*h)$

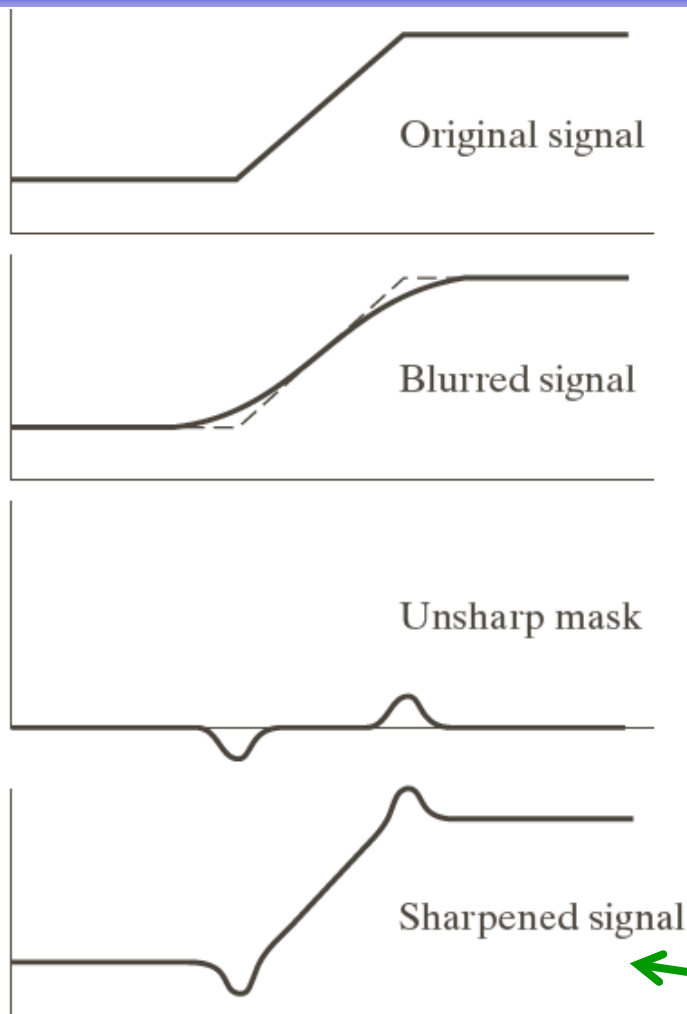
- Bildeforbedringen vi har sett på tilsvarer altså:

- Lavpassfiltrer med 3x3-middelverdifilter.
- Subtraher resultatet fra originalen.
- Adder 9\*differansen til originalen.

Husk: Konvolusjon er  
assosiativ ved skalar  
multiplikasjon:  
 $a(f*g) = f*(ag)$

- Dette er én form for **highboost-filtrering**.

# Unsharp masking og highboost-filtrering



G&W fig. 3.39

- Gitt et bilde (original):  
(til venstre: et 1D-bilde av en rampe)

1. Lavpassfiltrer.  
(til høyre er originalen stiptet)

2. Beregn differansen:  
*original – filtrering*

3. Resultatet er:  
*original +  $k \cdot$  differansen*

- $k$  er en positiv konstant.
- **Unsharp masking**:  $k = 1$  (brukt til høyre)
- **Highboost-filtrering**:  $k > 1$

# Eksempel: Unsharp masking

---

1. Lavpassfiltrering => uskarpt bilde.
  - Bruk f.eks. et middelvefilter.
2. Subtraher uskarpt bilde fra originalen.
  - Original – Lavpass = Høypass
3. Adder differansen til originalen.
  - Forsterker kanter, resultatet er skarpere enn originalen.







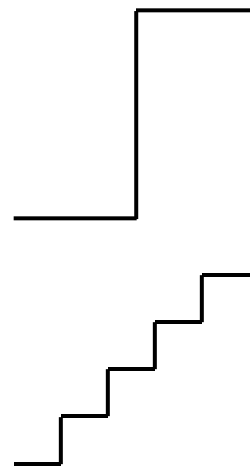
# Motivasjon for kant-deteksjon

---

- Det meste av **informasjonen** i et bilde finnes ved **kantene** til objektene/regionene i bildet.
  - Med «kanter» menes her intensitets-kanter, farge-kanter, tekstur-kanter o.s.v.
- Biologiske visuelle systemer er basert på kant-deteksjon.
- Slike systemer arbeider ofte både parallelt og sekvensielt:
  - Alle lokale omgivelser behandles uavhengig av hverandre.
  - Lokale resultat kan være avhengig av tidligere resultater.

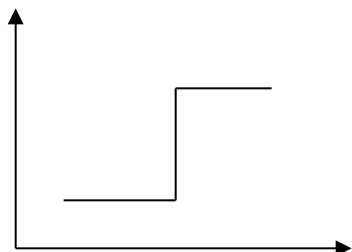
# Intensitets-flater, -kanter og -linjer

- **Homogen flate**: Et område der alle pikselverdiene er like. → 
- **Kant**: Overgangen mellom to områder med forskjellig middelvei.
  - **Steg-kant**: En-piksels overgang. → 
  - **Rampe**: Fler-piksels overgang med konstant intensitetsendring (d.v.s. konstant gradient). → 
- «Kant» brukes også om skillepunktet mellom de to områdene.
  - Forskjellige måter å modellere hvor skiller er.
  - For steg-kanter:
    - Et alternativ er midt mellom nabo-piksler som tilhører forskjellig områder.
    - I segmentering ønsker man typisk å finne første piksel på siden som tilhører objektet.
- Merk at en **linje** består av **to** kanter. → 
- Idealstrukturer er nyttig for modellering, men i praksis finner vi oftest strukturer som bare ligner.

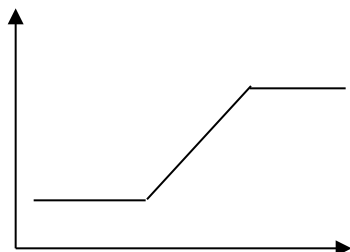


# Kant-typer

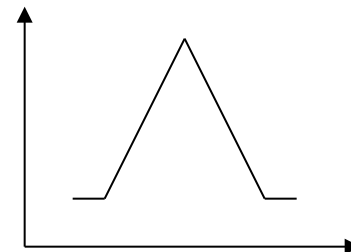
---



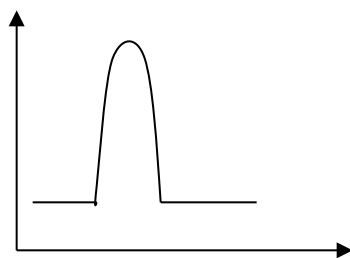
Steg-kant



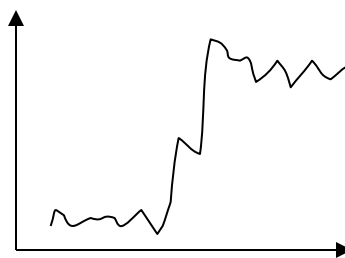
Rampe



Tak-kant



Linje  
(litt glattet)



Kant med støy

# Digital derivasjon

---

- En kant kjennetegnes ved **endring i intensitetsverdi**.
  - Siden en intensitetskant er overgangen mellom to områder med forskjellig middelvei, så må intensiteten endres i kanten.

- Den **deriverte** av en funksjon  $f(x)$  er definert som:

$$\lim_{h \rightarrow 0} \frac{f(x+h) - f(x)}{h}$$

og angir stigningstallet til  $f$  i punktet  $x$ ,  
så  $f'(x)$  angir hvor mye  $f$  endrer seg i punktet  $x$ .

- Den deriverte er **ikke definert** for diskrete funksjoner, men vi kan **tilnærme** den ved å la  $h \geq 1$  i definisjonen.
  - Tilnærme v.b.a. **differanser mellom nærliggende piksler**.



# Derivasjon av bilder

---

- Et digitalt bilde er en to-variabel, diskret funksjon.
- En kontinuerlig funksjon  $f(x,y)$  kan deriveres m.h.p.  $x$  og  $y$ .
  - Kalles å partiell-derivere m.h.p.  $x$  og  $y$ .
  - Betegnes henholdsvis  $\partial f(x,y)/\partial x$  og  $\partial f(x,y)/\partial y$
- Vektoren av de to partiell-deriverte kalles **gradienten** og betegnes  $\nabla f$ :

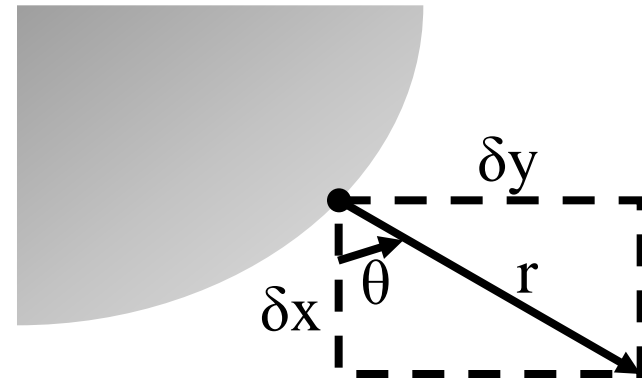
$$\nabla f = \begin{bmatrix} \frac{\partial f}{\partial x} \\ \frac{\partial f}{\partial y} \end{bmatrix}$$

# Gradient i et kontinuerlig bilde

- Gradienten peker i retningen der funksjonen øker mest:

- Den retningsderiverte til  $f$  i retning  $\theta$  (d.v.s. langs  $r$ ) er:

$$\begin{aligned}\frac{\partial f}{\partial r} &= \frac{\partial f}{\partial x} \frac{\partial x}{\partial r} + \frac{\partial f}{\partial y} \frac{\partial y}{\partial r} \\ &= \frac{\partial f}{\partial x} \cos \theta + \frac{\partial f}{\partial y} \sin \theta\end{aligned}$$



- Når den retningsderiverte er størst er:

$$\frac{\partial}{\partial \theta} \left( \frac{\partial f}{\partial r} \right) = 0$$

- D.v.s. vinkelen  $\theta_g$  der den retningsderiverte er størst oppfyller:

$$-\frac{\partial f}{\partial x} \sin \theta_g + \frac{\partial f}{\partial y} \cos \theta_g = 0 \quad \Leftrightarrow \quad \frac{\partial f}{\partial y} \cos \theta_g = \frac{\partial f}{\partial x} \sin \theta_g$$

# Gradient i et kontinuerlig bilde

- Gjentar: Når den retningsderiverte er størst er vinkelen  $\theta_g$  :

$$\frac{\partial f}{\partial y} \cos \theta_g = \frac{\partial f}{\partial x} \sin \theta_g \Rightarrow \frac{\sin \theta_g}{\cos \theta_g} = \frac{\frac{\partial f}{\partial y}}{\frac{\partial f}{\partial x}} \Rightarrow \tan \theta_g = \frac{g_y}{g_x}$$

- Derfor: Gradienten peker i **retningen** der funksjonen **øker mest**:

$$\theta_g = \tan^{-1} \left( \frac{g_y}{g_x} \right)$$

$\theta_g$  angir bare en linje som er parallell med gradienten, men ved å dobbeltderivere  $f$  kan man vise at funksjonen øker mest med gradientretningen og avtar mest mot gradientretning.

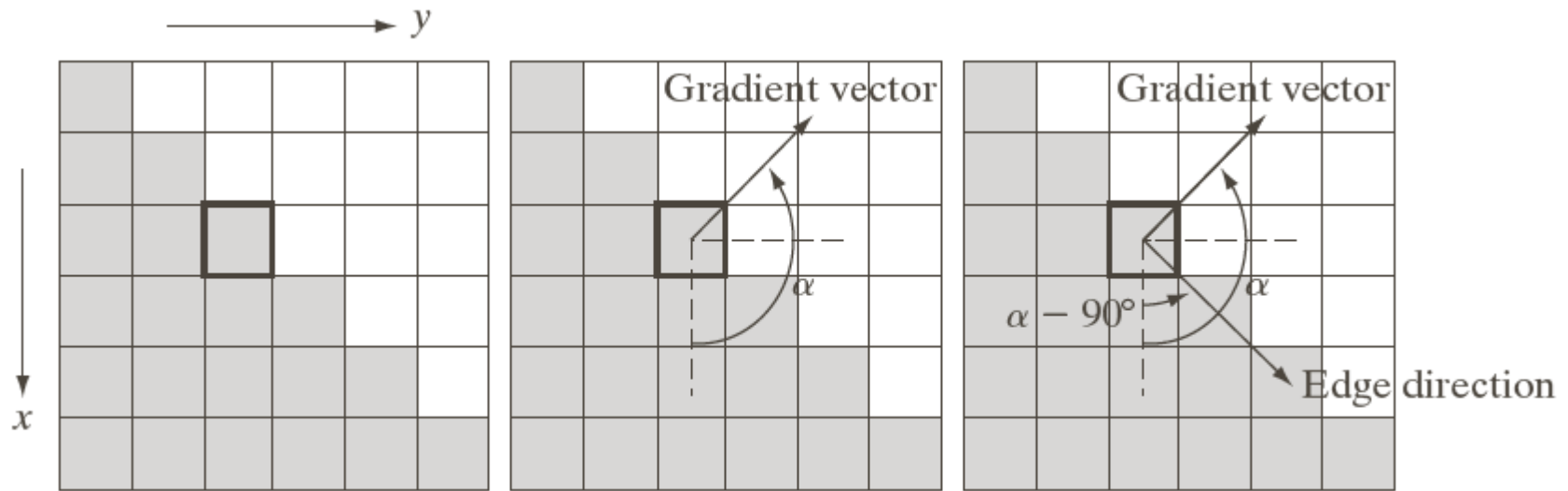
og økningen her, som kalles **gradient-magnituden**, er:

$$\frac{\partial f}{\partial r_g} = \sqrt{g_x^2 + g_y^2}$$

$\partial f / \partial r_g$  er den retningsderiverte i gradientretningen.

# Gradient $\perp$ Kant

- **Gradienten** peker i retningen der funksjonen **øker mest** og **kanten** går **vinkelrett på gradienten**.



a b c

**FIGURE 10.12** Using the gradient to determine edge strength and direction at a point. Note that the edge is perpendicular to the direction of the gradient vector at the point where the gradient is computed. Each square in the figure represents one pixel.

# Digitale gradient-tilnærminger

---

- Vi ønsker å tilnærme gradienten med **differanser mellom nærliggende piksler**.
- Til dette kan vi bruke to konvolusjonsfiltre som tilnærmer hver sin gradient-komponent.
  - To slike konvolusjonsfiltre kalles en **gradient-operator**.
  - Konvolusjonsfiltrene betegnes ofte som  $h_x$  og  $h_y$
  - F.eks.  $h_x$  tilnærmer den partiell-derivert i  $x$ -retning ved å beregne differansen i vertikal retning av nærliggende piksler.
- Mange muligheter!

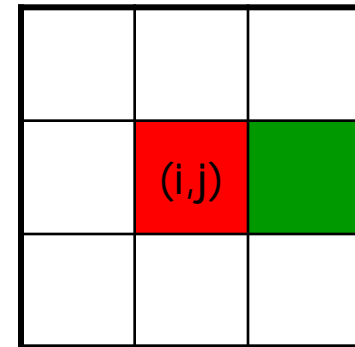
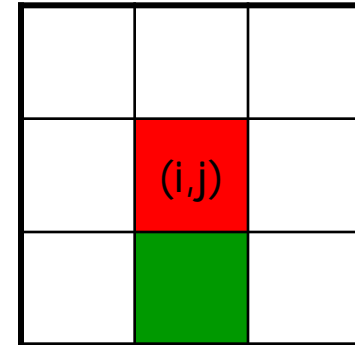
# Digitale gradient-tilnærminger

- Asymmetrisk 1D-operator:

$$g_x(i,j) = f(i+1,j) - f(i,j)$$

$$g_y(i,j) = f(i, j+1) - f(i,j)$$

- Definisjonene er gitt slik at gradient-komponentene er positive for en kant der intensiteten øker nedover og fra venstre mot høyre i bildet.



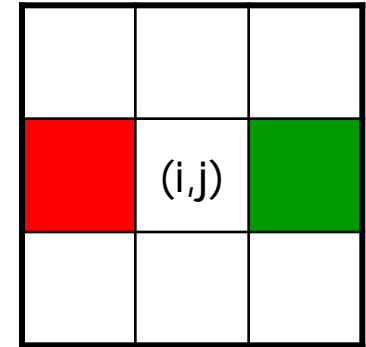
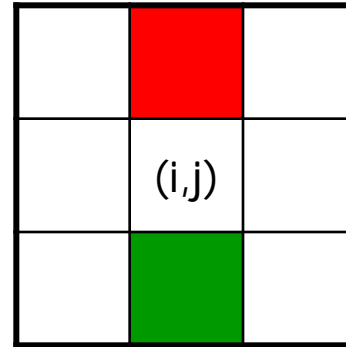
- Problemer med denne operatoren:
  - Hver av gradient-estimatene refererer til et punkt midt mellom to piksler.
  - $x$ - og  $y$ -estimatet refererer ikke til samme punkt i bildet.

# Digitale gradient-tilnærminger

- Symmetrisk 1D-operator:

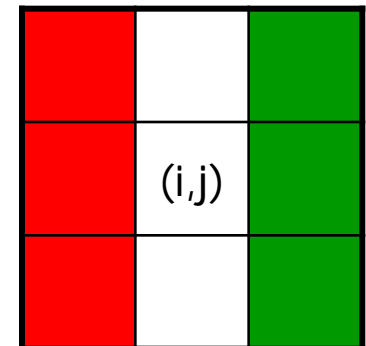
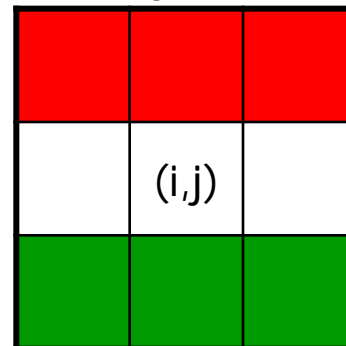
$$g_x(i,j) = f(i+1,j) - f(i-1,j)$$

$$g_y(i,j) = f(i,j+1) - f(i,j-1)$$



- Gradient-estimatene refererer nå til (i,j).
- Problem: Operatoren er veldig følsom for støy.
  - Støy kan bli detektert som kanter.
- Løsning: Gjør det samme for tre symmetriske par:

- Gradient-estimatene blir mer robuste mot støy i bildet.



# Digitale gradient-tilnærminger

---

- Vi gjorde 1D-operatoren symmetrisk for at gradient-estimatene skal referere til samme piksel.
- En positiv bieffekt er at vi innfører en mild glatting i retningen for gradient-tilnærmingen:

$$[1 \ 1] * [1 \ -1] = [1 \ 0 \ -1]$$

- For å gjøre operatoren mer støy-robust innfører vi deretter en glatting vinkelrett på denne retningen.



# Gradient-operatorer

- Asymmetrisk 1D-operator:

$$h_x(i, j) = \begin{bmatrix} 0 & 1 & 0 \\ 0 & -1 & 0 \\ 0 & 0 & 0 \end{bmatrix} \quad h_y(i, j) = \begin{bmatrix} 0 & 0 & 0 \\ 1 & -1 & 0 \\ 0 & 0 & 0 \end{bmatrix}$$

- Også kalt «pixel difference»-operatoren.

- Symmetrisk 1D-operator:

$$h_x(i, j) = \begin{bmatrix} 0 & 1 & 0 \\ 0 & 0 & 0 \\ 0 & -1 & 0 \end{bmatrix} \quad h_y(i, j) = \begin{bmatrix} 0 & 0 & 0 \\ 1 & 0 & -1 \\ 0 & 0 & 0 \end{bmatrix}$$

- Også kalt «separated pixel difference»-operatoren.

- Roberts-operatoren (også kalt Roberts kryssgradient-operator):

$$h_x(i, j) = \begin{bmatrix} 1 & 0 & 0 \\ 0 & -1 & 0 \\ 0 & 0 & 0 \end{bmatrix} \quad h_y(i, j) = \begin{bmatrix} 0 & 1 & 0 \\ -1 & 0 & 0 \\ 0 & 0 & 0 \end{bmatrix}$$

NB: Vi angir konvolusjonsfiltre i den tanke at de skal brukes til konvolusjon.

G&W angir filtermasker som skal brukes til korrelasjon.

Filtrene vil derfor avvike med en 180 graders rotasjon.

# Gradient-operatorer

- Prewitt-operatoren:

$$h_x(i, j) = \begin{bmatrix} 1 & 1 & 1 \\ 0 & 0 & 0 \\ -1 & -1 & -1 \end{bmatrix} \quad h_y(i, j) = \begin{bmatrix} 1 & 0 & -1 \\ 1 & 0 & -1 \\ 1 & 0 & -1 \end{bmatrix}$$

- Sobel-operatoren:

$$h_x(i, j) = \begin{bmatrix} 1 & 2 & 1 \\ 0 & 0 & 0 \\ -1 & -2 & -1 \end{bmatrix} \quad h_y(i, j) = \begin{bmatrix} 1 & 0 & -1 \\ 2 & 0 & -2 \\ 1 & 0 & -1 \end{bmatrix}$$

- Frei-Chen-operatoren:

$$h_x(i, j) = \begin{bmatrix} 1 & \sqrt{2} & 1 \\ 0 & 0 & 0 \\ -1 & -\sqrt{2} & -1 \end{bmatrix} \quad h_y(i, j) = \begin{bmatrix} 1 & 0 & -1 \\ \sqrt{2} & 0 & -\sqrt{2} \\ 1 & 0 & -1 \end{bmatrix}$$

NB: Vi angir konvolusjonsfiltre i den tanke at de skal brukes til konvolusjon.

G&W angir filtermasker som skal brukes til korrelasjon.

Filtrene vil derfor avvike med en 180 graders rotasjon.

# Separasjon av symmetriske gradient-operatorer

- Separasjon av Prewitt-operatoren:

$$h_x(i, j) = \begin{bmatrix} 1 & 1 & 1 \\ 0 & 0 & 0 \\ -1 & -1 & -1 \end{bmatrix} = \begin{bmatrix} 1 \\ 0 \\ -1 \end{bmatrix} * [1 \ 1 \ 1] \quad h_y(i, j) = \begin{bmatrix} 1 & 0 & -1 \\ 1 & 0 & -1 \\ 1 & 0 & -1 \end{bmatrix} = [1 \ 0 \ -1] * \begin{bmatrix} 1 \\ 1 \\ 1 \end{bmatrix}$$

- Separasjon av Sobel-operatoren:

$$h_x(i, j) = \begin{bmatrix} 1 & 2 & 1 \\ 0 & 0 & 0 \\ -1 & -2 & -1 \end{bmatrix} = \begin{bmatrix} 1 \\ 0 \\ -1 \end{bmatrix} * [1 \ 2 \ 1] \quad h_y(i, j) = \begin{bmatrix} 1 & 0 & -1 \\ 2 & 0 & -2 \\ 1 & 0 & -1 \end{bmatrix} = [1 \ 0 \ -1] * \begin{bmatrix} 1 \\ 2 \\ 1 \end{bmatrix}$$

- Separasjon av Frei-Chen-operatoren:

$$h_x(i, j) = \begin{bmatrix} 1 & \sqrt{2} & 1 \\ 0 & 0 & 0 \\ -1 & -\sqrt{2} & -1 \end{bmatrix} = \begin{bmatrix} 1 \\ 0 \\ -1 \end{bmatrix} * [1 \ \sqrt{2} \ 1] \quad h_y(i, j) = \begin{bmatrix} 1 & 0 & -1 \\ \sqrt{2} & 0 & -\sqrt{2} \\ 1 & 0 & -1 \end{bmatrix} = [1 \ 0 \ -1] * \begin{bmatrix} 1 \\ \sqrt{2} \\ 1 \end{bmatrix}$$

# Symmetriske gradient-operatorer

- Operatoren gjøres mindre følsom for støy ved å lavpassfiltrere i en retning og derivere i den ortogonale retningen.
  - Sees tydelig fra separasjonene.
- Eksempler: **Prewitt**, **Sobel**, **Frei-Chen**.
- Prewitt er mer følsom for horisontale og vertikale enn for diagonale kanter.
- Det motsatte er tilfelle for Sobel.
- Frei-Chen gir samme gradient-magnitudo om kanten ligger langs aksene eller diagonalt.

**Prewitt**

$$\begin{bmatrix} 1 & 0 & -1 \\ 1 & 0 & -1 \\ 1 & 0 & -1 \end{bmatrix}$$

**Sobel**

$$\begin{bmatrix} 1 & 0 & -1 \\ 2 & 0 & -2 \\ 1 & 0 & -1 \end{bmatrix}$$

**Frei-Chen**

$$\begin{bmatrix} 1 & 0 & -1 \\ \sqrt{2} & 0 & -\sqrt{2} \\ 1 & 0 & -1 \end{bmatrix}$$

# Gradient-beregning

---

- Vi finner de vertikale kantene:
  - Beregn:  $g_x(i,j) = h_x * f(i,j)$
- Vi finner de horisontale kantene:
  - Beregn:  $g_y(i,j) = h_y * f(i,j)$
- Beregn gradient-magnitude og -retning:

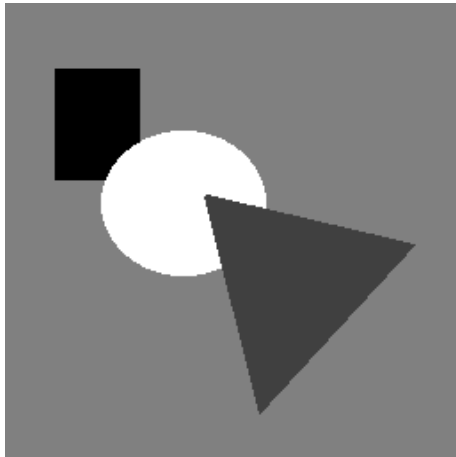
$$M(i, j) = \sqrt{g_x^2(i, j) + g_y^2(i, j)}$$

**Gradient-magnitude**

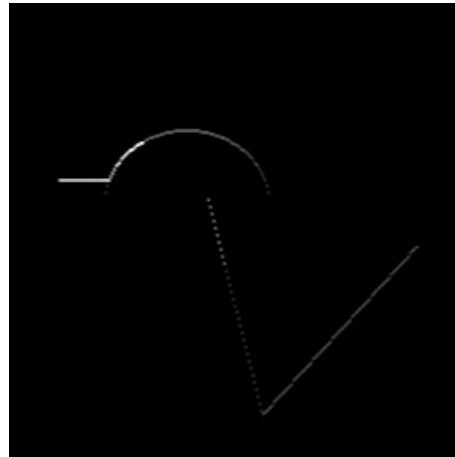
$$\theta(i, j) = \tan^{-1}\left(\frac{g_y(i, j)}{g_x(i, j)}\right)$$

**Gradient-retning**

# Eksempel: Gradient-beregning med Sobel-operatoren



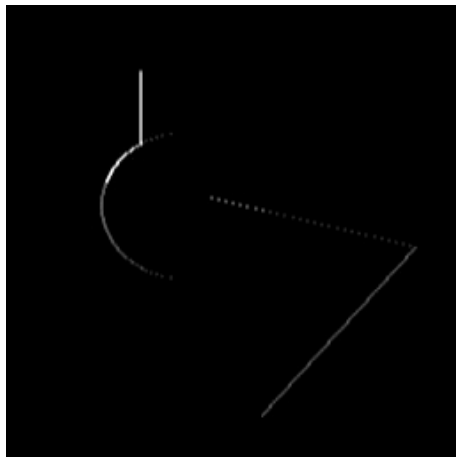
Inn-bilde  $f$



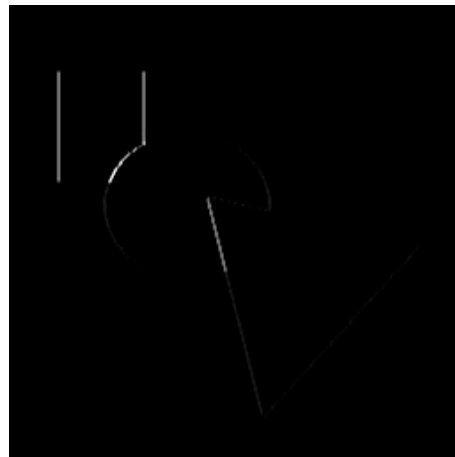
$g_x = f * h_x$



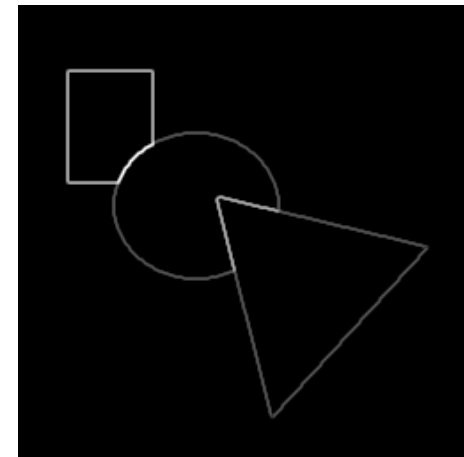
$g_x^2$



$g_y = f * h_y$



$g_y^2$



$(g_x^2 + g_y^2)^{1/2}$

Merk:  
Hvert bilde  
er skalert  
ved å dele  
på sitt  
maksimum.  
De negative  
verdiene i  
 $g_x$  og  $g_y$   
er satt til 0.

# Større gradient-operatorer

- De symmetriske gradient-operatorene kan gjøres mer støy-robuste ved å bygge inn mer lavpassfiltrering.
- Eksempel: Følgende  $5 \times 5$ -Sobel-operator:

$$h_x(i, j) = \begin{bmatrix} 1 & 4 & 6 & 4 & 1 \\ 2 & 8 & 12 & 8 & 2 \\ 0 & 0 & 0 & 0 & 0 \\ -2 & -8 & -12 & -8 & -2 \\ -1 & -4 & -6 & -4 & -1 \end{bmatrix} \quad h_y(i, j) = \begin{bmatrix} 1 & 2 & 0 & -2 & -1 \\ 4 & 8 & 0 & -8 & -4 \\ 6 & 12 & 0 & -12 & -6 \\ 4 & 8 & 0 & -8 & -4 \\ 1 & 2 & 0 & -2 & -1 \end{bmatrix}$$

er resultatet av konvolusjonene:

$$h_x(i, j) = \begin{bmatrix} 1 & 2 & 1 \\ 0 & 0 & 0 \\ -1 & -2 & -1 \end{bmatrix} * \begin{bmatrix} 1 & 2 & 1 \\ 2 & 4 & 2 \\ 1 & 2 & 1 \end{bmatrix} \quad h_y(i, j) = \begin{bmatrix} 1 & 0 & -1 \\ 2 & 0 & -2 \\ 1 & 0 & -1 \end{bmatrix} * \begin{bmatrix} 1 & 2 & 1 \\ 2 & 4 & 2 \\ 1 & 2 & 1 \end{bmatrix}$$

# Implementasjoner av gradient-operatorer

---

- Som vanlig lurt å utnytte separabilitet.
- For 5x5-Sobel-operatoren på forrige foil:
  - Med 5x5-filtrene kreves 50 multiplikasjoner.
  - Ved bruk av de fire 3x3-filtrene kreves 36 multiplikasjoner.
  - Finnes mange måter man dele opp på, men det raskeste blir å separere 5x5-filtrene direkte:

$$h_x(i, j) = [1 \quad 4 \quad 6 \quad 4 \quad 1] * \begin{bmatrix} 1 \\ 2 \\ 0 \\ -2 \\ -1 \end{bmatrix} \quad h_y(i, j) = [1 \quad 2 \quad 0 \quad -2 \quad -1] * \begin{bmatrix} 1 \\ 4 \\ 6 \\ 4 \\ 1 \end{bmatrix}$$

Disse krever bare 20 multiplikasjoner.



# Gradient til kant-deteksjon

- Gradient-magnituden indikerer **styrken av kanten** i et piksel.
- Kantene i gradient-magnituden blir typisk brede / tykke.
  - Kan være uønsket.
  - Bredden avhenger av størrelsen på filtrene og bredden på kanten i bildet.
- Mulige fremgangsmåter for å finne eksakt, tynn kant:
  - Terskle grad.mag. og tynne.
  - Finne maksimum i grad.mag. / bruke den andrederiverte.



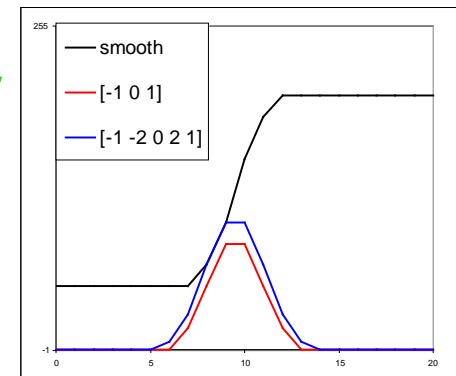
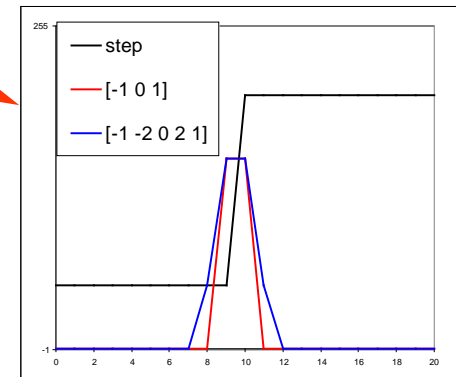
# Gradient til kant-deteksjon

- Gradient-magnituden har «bred respons», men vi ønsker eksakt, tynn kant.

- For en steg-kant:
  - Bredden på responsen er avhengig av størrelsen på filteret.

- For en bred kant (glattet med  $[1\ 2\ 3\ 2\ 1]$ ):
  - Bredden på responsen er avhengig av bredden på kanten.

- **Maksimumet er likt og fornuftig lokalisert!**
  - Bruke den andrederiverte til å finne maksimumene?

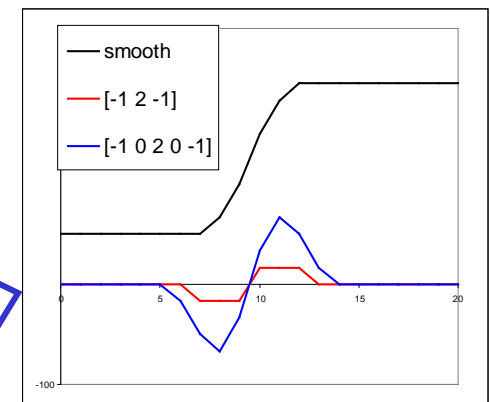


# Laplace-operatoren

- Laplace-operatoren er gitt ved:

$$\nabla^2 f = \frac{\partial^2 f}{\partial x^2} + \frac{\partial^2 f}{\partial y^2}$$

- Den endrer fortegn der  $f$  et vendepunkt.
- $\nabla^2 f = 0$  markerer kant-posisjon.
- $|\nabla^2 f|$  har to ekstremverdier per kant; på starten og på slutten av kanten.
  - Derfor brukte vi den tidligere til å forbedre bildeskarpheiten!



- Kantens eksakte posisjon er nullgjennomgangen.
- Dette gir tynne kanter.
- Vi finner bare kant-posisjoner, ikke kant-retninger.

# 1D-Laplace-operator

**Kontinuerlig**

**Digitalt**

$$f(x)$$

$$f(i)$$

$$f'(x)$$

$$f(i+1)-f(i)$$

$$f''(x) = \nabla^2 f$$

$$\begin{aligned} & f'(i+1)-f'(i) \\ &= [f(i+2)-f(i+1)] \\ &\quad - [f(i+1)-f(i)] \\ &= f(i+2)-2f(i+1)+f(i) \end{aligned}$$

- I 1D er  $\nabla^2 f$  ekvivalent med den andrederiverte.
- Av symmetri-hensyn sentrerer vi om  $i$ .
- Dessuten bytter vi fortegn av konvensjon.
- Altså får vi:  
$$\nabla^2 f = -f(i-1) + 2f(i) - f(i+1)$$

# 2D-Laplace-operator

---

- Anvend 1D-Laplace-tilnærmingen i begge retninger:

$$\begin{aligned}\nabla^2 f &= \frac{\partial^2 f}{\partial x^2} + \frac{\partial^2 f}{\partial y^2} \\ &\approx -f(i-1, j) + 2f(i, j) - f(i+1, j) \\ &\quad - f(i, j-1) + 2f(i, j) - f(i, j+1)\end{aligned}$$

- Dette kan beregnes ved å konvolvare  $f(i, j)$  med

$$\begin{bmatrix} 0 & -1 & 0 \\ -1 & 4 & -1 \\ 0 & -1 & 0 \end{bmatrix}$$

# Full 3x3-Laplace-operator

---

- Hvis vi i tillegg anvender 1D-Laplace-tilnærmingen langs begge diagonaler, får vi det som kan beregnes med:

$$\begin{bmatrix} -1 & -1 & -1 \\ -1 & 8 & -1 \\ -1 & -1 & -1 \end{bmatrix}$$

- Dette konvolusjonsfilteret kjenner vi igjen.
  - Punkt-deteksjon.
  - Øke bildeskarpheiten.

# Laplace på andregradspolynom

- La de lokale intensitetene omkring  $(x, y)$  være modellert ved andregradspolynomet ( $(m, n)$  er koordinater relativt til  $(x, y)$ ):

$$f(m, n) = k_1 + k_2 m + k_3 n + k_4 m^2 + k_5 mn + k_6 n^2$$

- I et 3x3-naboskap rundt  $(x, y)$  har vi da intensitetene:

$k_1 - k_2 - k_3 + k_4 + k_5 + k_6$	$k_1 - k_3 + k_6$	$k_1 + k_2 - k_3 + k_4 - k_5 + k_6$
$k_1 - k_2 + k_4$	$k_1$	$k_1 + k_2 + k_4$
$k_1 - k_2 + k_3 + k_4 - k_5 + k_6$	$k_1 + k_3 + k_6$	$k_1 + k_2 + k_3 + k_4 + k_5 + k_6$

- Den korrekte Laplace-verdien er gitt ved:

$$-\nabla^2 f(x, y) = -\left(\frac{\partial^2 f(x, y)}{\partial x^2} + \frac{\partial^2 f(x, y)}{\partial y^2}\right) = -2(k_4 + k_6)$$

- Både 4-nabo- og 8-nabo-Laplace-operatoren (høyre) gir korrekt estimat!

$$\begin{bmatrix} 0 & -1 & 0 \\ -1 & 4 & -1 \\ 0 & -1 & 0 \end{bmatrix} \quad \frac{1}{3} \begin{bmatrix} -1 & -1 & -1 \\ -1 & 8 & -1 \\ -1 & -1 & -1 \end{bmatrix}$$

# Sobel vs Laplace

---



Sobel-filtrering  
=> bred kant



Laplace-filtrering  
=> dobbelt-kant

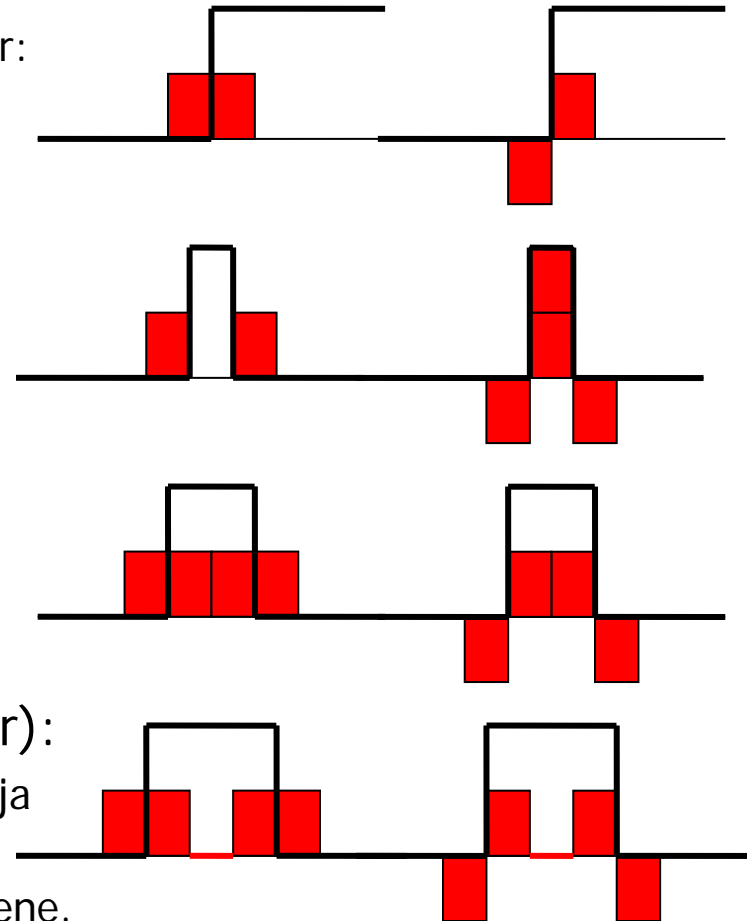


# Steg-kanter og steg-kantede linjer

- Merk:
  - «Grad.mag.» bruker symmetrisk 1D-operator:
 
$$f(i+1) - f(i-1)$$
  - «Laplace» er 1D-Laplace-operatoren:
 
$$-f(i-1) + 2f(i) - f(i+1)$$
- For steg-kanter:
  - Gradientmagnituden gir samme respons i første piksel utenfor og første piksel innenfor kanten.
  - Laplace gir responser med motsatt fortegn, og riktig kant i null-gjennomgang.
- På tvers av en linje (med to steg-kanter):
  - 1-piksels linje gir respons på hver side av linja med gradientmagnituden – ingen respons i.
  - Laplace gir riktige kanter i nullgjennomgangene.

Grad.mag.

Laplace



# Andre Laplace-operatorer

- Kan bl.a. finnes ved å bruke gradient-operatorer.
- Eksempel: Bruker 3x3-Sobel-operatoren:

$$\begin{aligned}
 -\nabla_{5 \times 5}^2 &= -\left( \begin{bmatrix} 1 & 2 & 1 \\ 0 & 0 & 0 \\ -1 & -2 & -1 \end{bmatrix} * \begin{bmatrix} 1 & 2 & 1 \\ 0 & 0 & 0 \\ -1 & -2 & -1 \end{bmatrix} + \begin{bmatrix} 1 & 0 & -1 \\ 2 & 0 & -2 \\ 1 & 0 & -1 \end{bmatrix} * \begin{bmatrix} 1 & 0 & -1 \\ 2 & 0 & -2 \\ 1 & 0 & -1 \end{bmatrix} \right) \\
 &= -\left( \begin{bmatrix} 1 & 4 & 6 & 4 & 1 \\ 0 & 0 & 0 & 0 & 0 \\ -2 & -8 & -12 & -8 & -2 \\ 0 & 0 & 0 & 0 & 0 \\ 1 & 4 & 6 & 4 & 1 \end{bmatrix} + \begin{bmatrix} 1 & 0 & -2 & 0 & 1 \\ 4 & 0 & -8 & 0 & 4 \\ 6 & 0 & -12 & 0 & 6 \\ 4 & 0 & -8 & 0 & 4 \\ 1 & 0 & -2 & 0 & 1 \end{bmatrix} \right) = \begin{bmatrix} -2 & -4 & -4 & -4 & -2 \\ -4 & 0 & 8 & 0 & -4 \\ -4 & 8 & 24 & 8 & -4 \\ -4 & 0 & 8 & 0 & -4 \\ -2 & -4 & -4 & -4 & -2 \end{bmatrix}
 \end{aligned}$$

# Implementasjon av Laplace-operatorer

- Generelt **ikke separable**.
- Flere Laplace-operatorer kan likevel **deles opp i 1D-operasjoner**.
- Eksempel: Laplace-operatoren fra forrige foil:

$$-\nabla_{5 \times 5}^2 = \begin{bmatrix} -2 & -4 & -4 & -4 & -2 \\ -4 & 0 & 8 & 0 & -4 \\ -4 & 8 & 24 & 8 & -4 \\ -4 & 0 & 8 & 0 & -4 \\ -2 & -4 & -4 & -4 & -2 \end{bmatrix}$$

er ikke separabel, men kan deles opp i 1D-operasjonene:

$$[1 \ 4 \ 6 \ 4 \ 1] * [-1 \ 0 \ 2 \ 0 \ -1]^T + [-1 \ 0 \ 2 \ 0 \ -1] * [1 \ 4 \ 6 \ 4 \ 1]^T$$

Krever da 37 operasjoner i stedet for 49 (v.b.a. 5x5-filteret).

# Fra Laplace til LoG

- Vi gjorde gradient-operatorene støy-robuste ved å bygge inn en lavpassfiltrering.
  - Eksempel: 3x3-Sobel-operatoren:

$$h_x(i, j) = \begin{bmatrix} 1 & 2 & 1 \\ 0 & 0 & 0 \\ -1 & -2 & -1 \end{bmatrix} = \begin{bmatrix} 1 \\ 0 \\ -1 \end{bmatrix} * [1 \ 2 \ 1] \quad h_y(i, j) = \begin{bmatrix} 1 & 0 & -1 \\ 2 & 0 & -2 \\ 1 & 0 & -1 \end{bmatrix} = [1 \ 0 \ -1] * \begin{bmatrix} 1 \\ 2 \\ 1 \end{bmatrix}$$

- Vi kan gjøre det samme med en Laplace-operator.
- Det er vanlig å bygge inn et Gauss-filter  $G$  med gitt  $\sigma$ :

$$\nabla^2 * (G * f) = (\nabla^2 * G) * f = LoG * f$$

- $\nabla^2$  er en Laplace-operator og

$LoG = \nabla^2 * G$  er en **Laplacian-of-Gaussian-operator**.

Husk:  
Konvolusjon er  
assosiativ:  
 $(f * g) * h = f * (g * h)$

# En 7×7-LoG-operator

- Konvolverer vi 3x3-Gauss-tilnærmingen:

$$G_{3 \times 3} = [1 \quad 2 \quad 1] * [1 \quad 2 \quad 1]^T$$

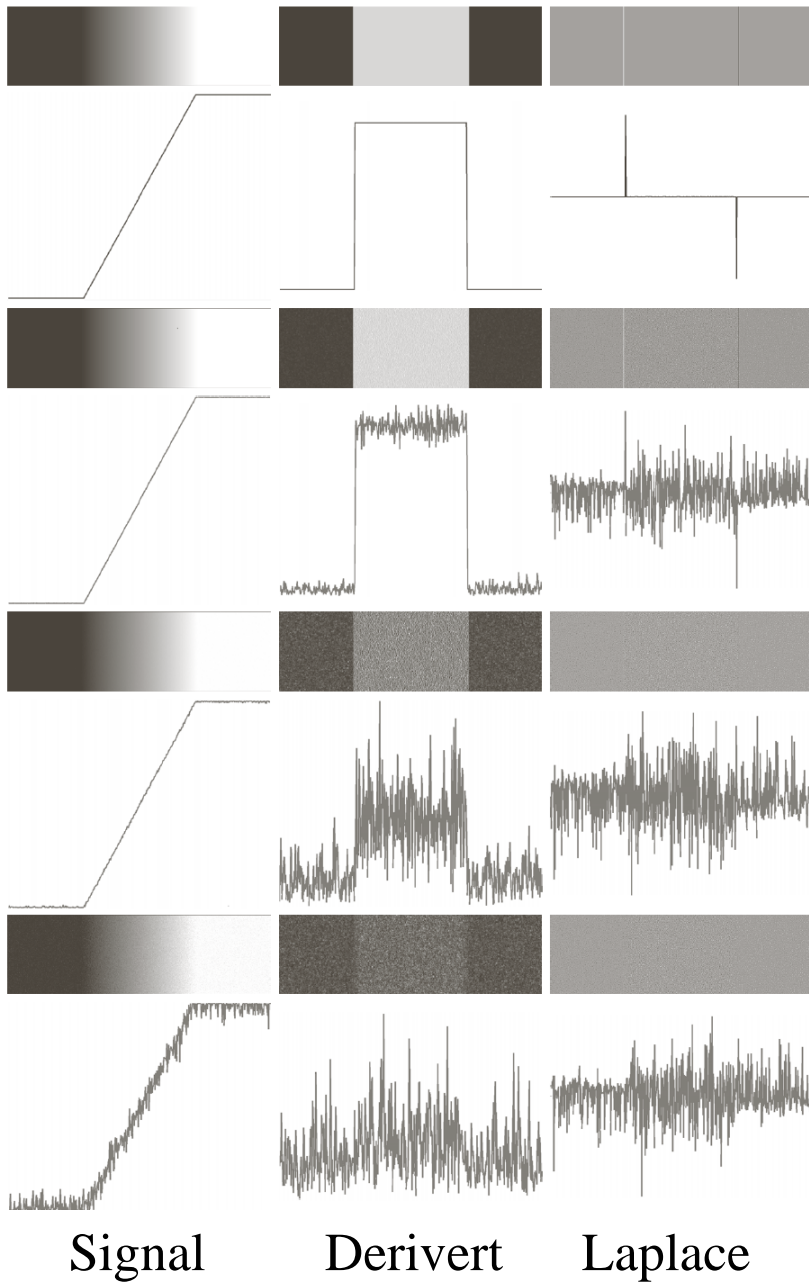
med Laplace-operatoren vil fikk ved å bruke 3x3-Sobel-operatoren:

$$-\nabla_{5 \times 5}^2 = [1 \quad 4 \quad 6 \quad 4 \quad 1] * [-1 \quad 0 \quad 2 \quad 0 \quad -1]^T + [-1 \quad 0 \quad 2 \quad 0 \quad -1] * [1 \quad 4 \quad 6 \quad 4 \quad 1]^T$$

for å få følgende 7x7-LoG-operator:

$$\text{LoG}_{7 \times 7} = -\nabla_{5 \times 5}^2 * G_{3 \times 3} = \begin{bmatrix} -2 & -8 & -14 & -16 & -14 & -8 & -2 \\ -8 & -24 & -24 & -16 & -24 & -24 & -8 \\ -14 & -24 & 30 & 80 & 30 & -24 & -14 \\ -16 & -16 & 80 & 160 & 80 & -16 & -16 \\ -14 & -24 & 30 & 80 & 30 & -24 & -14 \\ -8 & -24 & -24 & -16 & -24 & -24 & -8 \\ -2 & -8 & -14 & -16 & -14 & -8 & -2 \end{bmatrix}$$

# Også lavpassfiltrere?



**FIGURE 10.11** First column: Images and intensity profiles of a ramp edge corrupted by random Gaussian noise of zero mean and standard deviations of 0.0, 0.1, 1.0, and 10.0 intensity levels, respectively. Second column: First-derivative images and intensity profiles. Third column: Second-derivative images and intensity profiles.

Signal

Derivert

Laplace

# To måter å lage LoG-operatorer

---

- Ofte lages og implementeres en LoG-operator som konvolusjonen av en Laplace-operator og et Gauss-filter.
- Ofte defineres en **LoG-operator** som en **sampling av LoG-funksjonen**, som er resultatet av å anvende Laplace-operatoren på Gauss-funksjonen i det **kontinuerlige domenet**.
- Disse fremgangsmåtene gir generelt ikke *helt* like filtre, men begge resulterer i filtre vi kaller LoG-operatorer.

# Utleddning av LoG-funksjonen

2D - Gauss - funksjon :

$$G(x, y) = \frac{1}{2\pi\sigma^2} e^{-\frac{(x^2+y^2)}{2\sigma^2}}$$

Deriverer m.h.p.  $x$  :

$$\frac{\partial G}{\partial x} = -\frac{x}{2\pi\sigma^4} e^{-\frac{(x^2+y^2)}{2\sigma^2}}$$

Deriverer m.h.p.  $y$  :

$$\frac{\partial G}{\partial y} = -\frac{y}{2\pi\sigma^4} e^{-\frac{(x^2+y^2)}{2\sigma^2}}$$

Andrederivert m.h.t.  $x$  :

$$\frac{\partial^2 G}{\partial x^2} = -\frac{1}{2\pi\sigma^4} \left(1 - \frac{x^2}{\sigma^2}\right) e^{-\frac{(x^2+y^2)}{2\sigma^2}}$$

Andrederivert m.h.t.  $y$  :

$$\frac{\partial^2 G}{\partial y^2} = -\frac{1}{2\pi\sigma^4} \left(1 - \frac{y^2}{\sigma^2}\right) e^{-\frac{(x^2+y^2)}{2\sigma^2}}$$

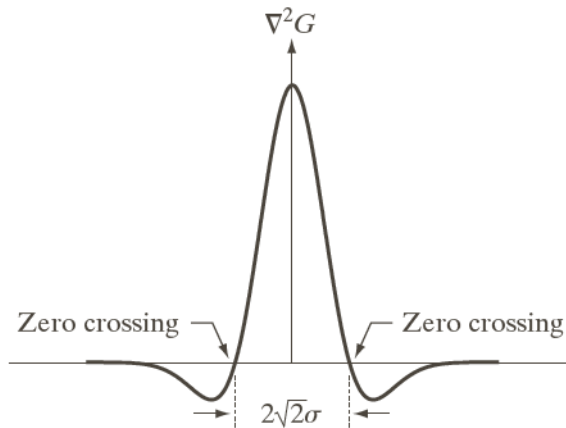
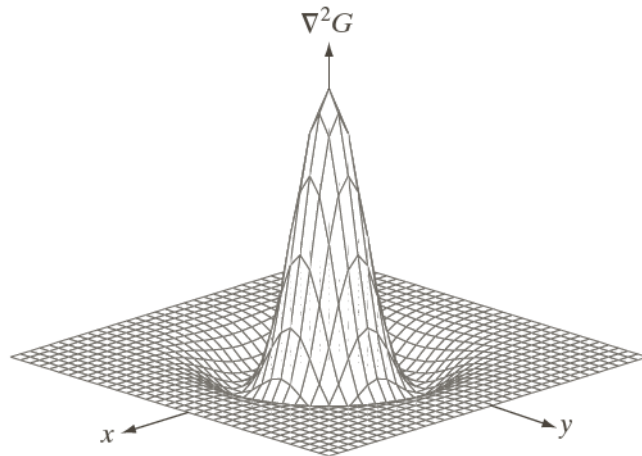
Laplace er summen av disse :

$$-\nabla^2 G = \frac{1}{2\pi\sigma^4} \left(2 - \frac{x^2 + y^2}{\sigma^2}\right) e^{-\frac{(x^2+y^2)}{2\sigma^2}}$$



# LoG-funksjonen

- Kalles noen ganger «Mexican hat»-operatoren.



a b  
c d

**FIGURE 10.21**

(a) Three-dimensional plot of the *negative* of the LoG. (b) Negative of the LoG displayed as an image. (c) Cross section of (a) showing zero crossings. (d)  $5 \times 5$  mask approximation to the shape in (a). The negative of this mask would be used in practice.

0	0	-1	0	0
0	-1	-2	-1	0
-1	-2	16	-2	-1
0	-1	-2	-1	0
0	0	-1	0	0

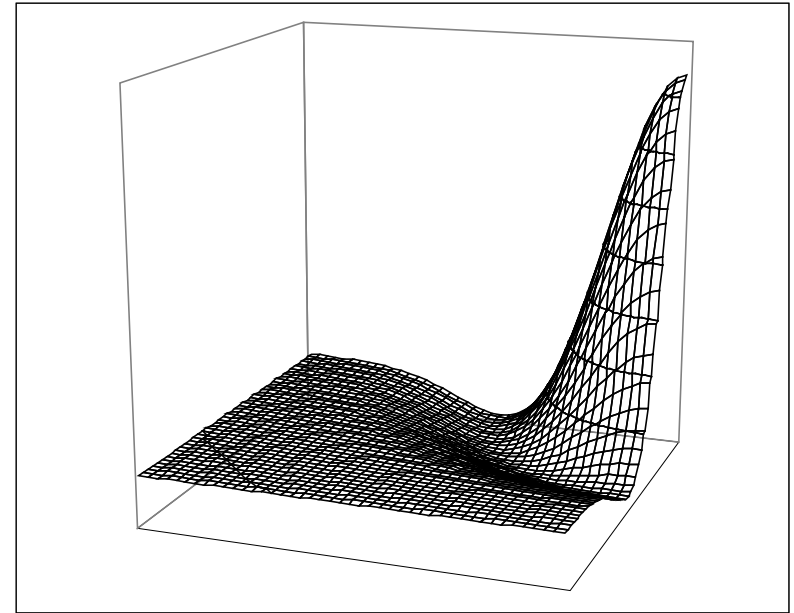
G & W definerer  $\nabla^2 G$   
som LoG-funksjonen, men  
vi definerer den som  $-\nabla^2 G$

# LoG-operator fra LoG-funksjonen

- Får en LoG-operator ved å sample (en variant av) LoG-funksjonen for heltallige  $x$  og  $y$ .

$$\longrightarrow -\nabla^2 G = \frac{1}{2\pi\sigma^4} \left( 2 - \frac{x^2 + y^2}{\sigma^2} \right) e^{-\frac{(x^2 + y^2)}{2\sigma^2}}$$

- Vi bryr oss denne gangen ikke om implementasjonsdetaljene; justering slik at vektene summerer seg til 0 og eventuell heltallstilnærming av vektene.
- $\sigma$  er standard-avviket til Gauss-en og er en parameter.
- I de fleste tilfeller er størrelsen av operatoren  $\approx 3w \approx 8.5\sigma$ 
  - LoG-funksjonen omtrent 0 utenfor dette området.
  - Den positive toppen til minus LoG-funksjonen kalles *kjernen* og  $w = 2\sqrt{2} \sigma$  er bredden av denne.

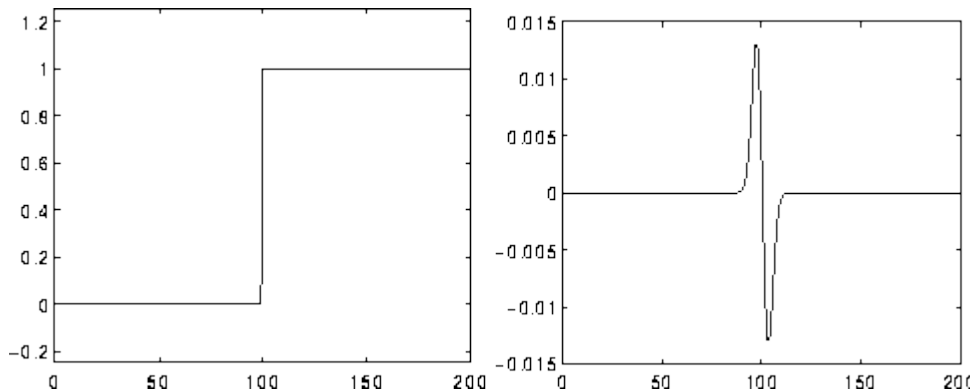


Et kvadrant av LoG-funksjonen

# Bruk av LoG-operatorer

- Laplace-operator detekterer kanter, men er følsomme for støy.
- Ofte må man lavpassfiltrere før Laplace-filtrering.
- En LoG-operator gjør begge disse operasjonene i ett.
- Fungerer ellers som en Laplace-operator:
  - I homogene områder vil en LoG-operator gi respons 0.
  - Den vil ha positiv respons på den ene siden av kanten, er ideelt sett 0 i kantskillet, og har negativ respons på den andre siden.
  - **Nullgjennomganger angir kanter.**

Intensitetsprofil  
av en steg-kant

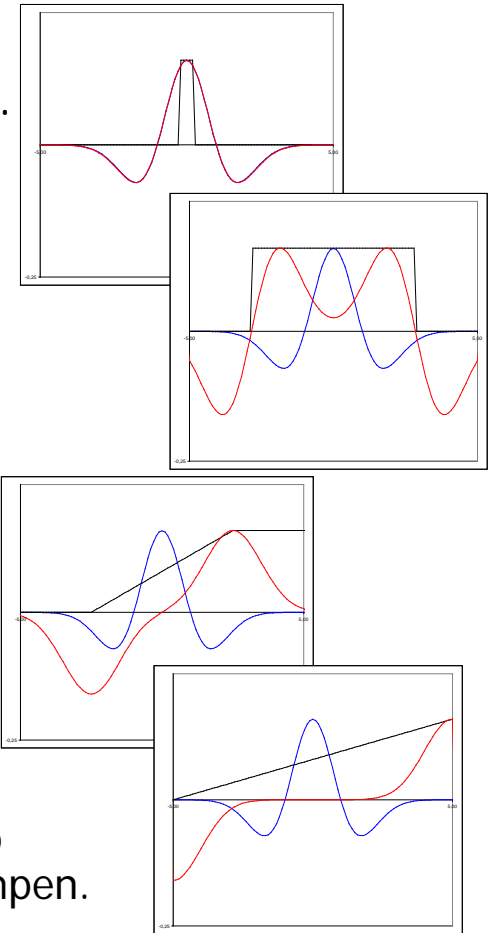


LoG-filtreringen  
av profilen  
NB: Den anvendte  
LoG-operatoren  
har negativ verdi  
i senterposisjonen.

- PS: LoG-operatorer med varierende  $\sigma$  fungerer også godt som «blob»-detektorer.

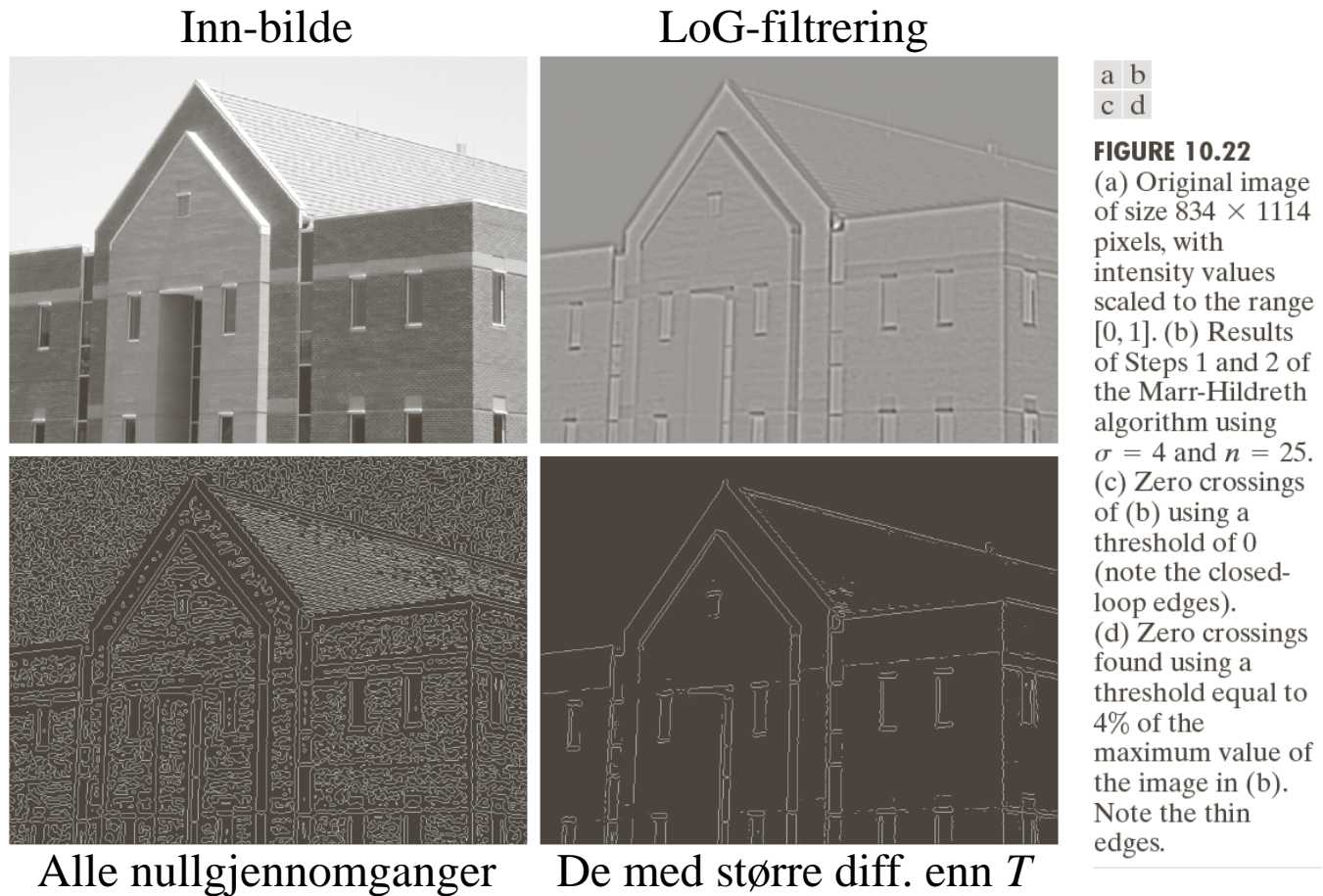
# Kantdeteksjon ved LoG-nullgjennomganger

- Tommelfingerregel for strukturer:  
**LoG-kjernen må være smalere enn strukturen.**
  - Strukturen er mindre enn halvparten av LoG-kjernen  
=> Nullgjennomgangene er utenfor kantskillene
  - Strukturen er større enn halvparten av LoG-filteret  
=> Nullgjennomgangene er nøyaktig kantskillene
  - Et sted i mellom: Avhenger av diskretiseringen og tilnærmingen av LoG-filteret.
- Tommelfingerregel for ramper:  
**LoG-filteret må være større enn rampen.**
  - Rampen er bredere enn LoG-filteret,  
=> Ingen nullgjennomgang, bare et null-platå.
  - Ellers: Nullgjennomgang midt på rampen (kan få én 0-respons akkurat på midten), altså en fornuftig definisjon av kantskillet til rampen.
    - P.g.a. støy krever ofte at nullpasseringen er skarp  
=> LoG-filteret må være betydelig større enn rampen.
- => **Velg kjerne- og filterstørrelsen med omhu!**
  - Angis først og fremst av standardavviket til Gauss-funksjonen, som gir bredden av LoG-kjernen og antyder størrelsen av LoG-filteret.



# Eksempel: LoG-kantdeteksjon

- **Oppgave:** Finn fremtredende kanter.



# Robust kantdeteksjon

---

Vanligvis tre steg i robust kantdetektor:

- 1. Støy-reduksjon:** Forsøker å fjerne så mye støy som mulig uten å glatte ut kantene for mye.
  - Lavpassfiltrering.
- 2. Kant-filtrering:** Finner kantene.
  - Høypassfiltrering; anvender f.eks. gradient-operatorer.
- 3. Kant-lokalisering:** Etterbehandler resultatet fra kant-filtreringen for å finne eksakte kantposisjoner.
  - Kantresponsen skal helst være ett piksel tykk og være lokalisert der kanten faktisk er i inn-bildet.

# Hva kjennetegner en god kantdetektor?

---

- Finner **alle** og **bare** de relevante kantene.
- Posisjonen til detektert kant samsvarer med der kanten faktisk finnes i inn-bildet.
- En kant gir én enkelt respons.
- Robust for støy.
  - Trade-off / kompromiss mellom støy-robusthet og kant-lokalisering.

# Ideen til Canny

---

- Lag en kantdetektor som er optimal i forhold til følgende tre kriterier:
  - Best mulig deteksjon (alle kanter og bare kanter)
  - God kant-lokalisering
  - Én enkelt respons
- Optimer ved bruk av et bilde med støy.
- Resultat: Følgende enkle algoritme oppnår nesten optimumet:



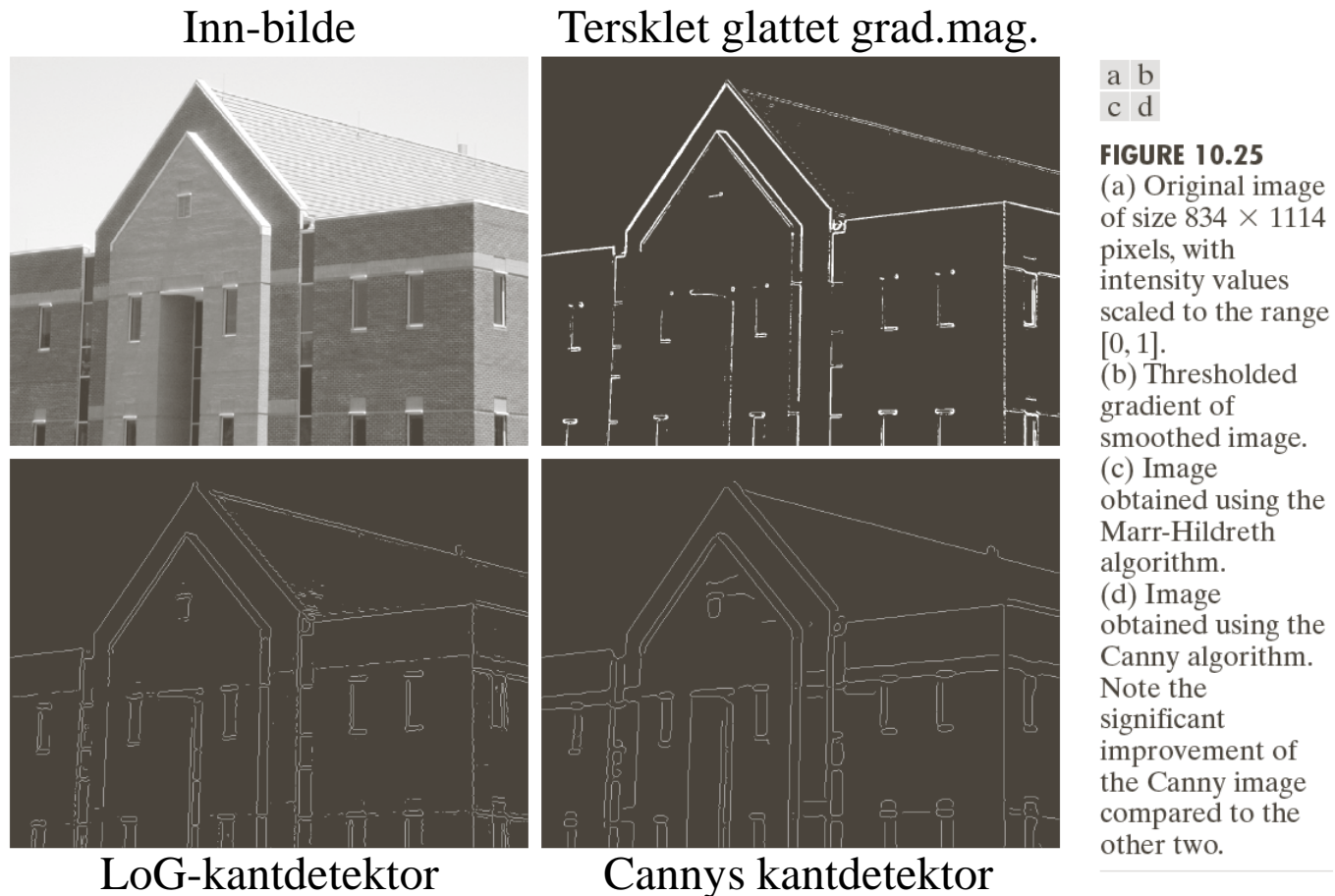
# Cannys algoritme

---

1. Lavpassfiltrer med Gauss-filter (med gitt  $\sigma$ ).
2. Finn gradient-magnituden og gradient-retningen.
3. Tynning av gradient-magnitudo ortogonalt på kant.
  - F.eks.: Hvis et piksel i gradient-magnitudo-bildet har en 8-nabo i eller mot gradient-retningen med høyere verdi, så settes pikselverdien til 0.
4. Hysterese-terskling (to terskler,  $T_h$  og  $T_l$ ) :
  - a. Merk alle piksler der  $g(x,y) \geq T_h$
  - b. For alle piksler der  $g(x,y) \in [T_l, T_h)$  :
    - Hvis (4 eller 8)-nabo til et merket piksel, så merkes dette pikselet også.
  - c. Gjenta fra trinn b til konvergens.

# Eksempel: Kantdeteksjon

- **Oppgave:** Finn fremtredende kanter.



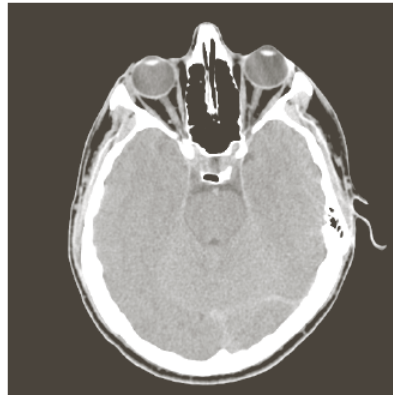
# Eksempel: Kantdeteksjon

---

- **Oppgave:** Finn fremtredende kanter.

Inn-bilde

Tersklet glattet grad.mag.



LoG-kantdetektor

Cannys kantdetektor

# Oppsummering

---

- Vi har utledet enkle kant-deteksjonsoperatorer.
- Gradient-operatorene glatter i den ene retningen og gjør kantdeteksjon i den andre retningen.
- Gradient-operatorer gir både kant-styrke og retning.
- Laplace-operatorer gir presis lokalisering av kanten, men forsterker støy.
- LoG-operatoren er en mer robust versjon av Laplace som inkluderer Gauss-glatting.
  - Kjernens og filterets størrelse må passe til oppgaven!
- Canny's kantdetektor gir et kompromiss mellom støyreduksjon og kantlokalisering.